

# PVK Numerische Methoden

## Tag 2

Lucas Böttcher

ETH Zürich  
Institut für Baustoffe  
Wolfgang-Pauli-Str. 27  
HIT G 23.8  
8093 Zürich

*lucasb@ethz.ch*

June 20, 2017

## **Kurstag**    **Inhalt**

Tag 1    Differenzialgleichungen

Tag 2    **Quadratur, Nichtlineare algebraische Gleichungen**

Tag 3    Ausgleichsrechnung, Eigenwerte, Interpolation

Tag 4    Lineare ODEs, Exponentielle Integratoren, Splitting-Verfahren

Tag 5    Erweiterte Übungen

## Kapitel II

### Numerische Quadratur (pp. 158–207 im Skript)

# Numerische Quadratur

Integrale sind oft analytisch nicht oder schwer zugänglich. Man kann diese jedoch auch oft numerisch approximieren.

**Lernziele:** Kennen und Anwenden geeigneter Quadraturverfahren zum numerischen Lösen eines gegebenen Integrals.

## Lösungsverfahren:

- 1 Mittelpunkts-, Simpson- und Trapezregel
- 2 Nicht äquidistante Stützstellen
- 3 Adaptive Quadratur
- 4 Quadratur in  $\mathbb{R}^d$
- 5 Monte-Carlo-Quadratur

## Numerische Quadratur mit äquidistanten Stützstellen

**Grundidee:** Approximation des Integrals

$$\int_a^b f(x) dx \approx Q_n(f; a, b) := \sum_{i=1}^n \omega_i^n f(c_i^n).$$

## Numerische Quadratur mit äquidistanten Stützstellen

**Grundidee:** Approximation des Integrals

$$\int_a^b f(x) dx \approx Q_n(f; a, b) := \sum_{i=1}^n \omega_i^n f(c_i^n).$$

Eine Quadraturformel besitzt Ordnung  $n + 1$ , wenn sie ein Polynom vom Grad  $n$  exakt integriert.

## Numerische Quadratur mit äquidistanten Stützstellen

**Grundidee:** Approximation des Integrals

$$\int_a^b f(x) dx \approx Q_n(f; a, b) := \sum_{i=1}^n \omega_i^n f(c_i^n).$$

Eine Quadraturformel besitzt Ordnung  $n + 1$ , wenn sie ein Polynom vom Grad  $n$  exakt integriert.

## Numerische Quadratur mit äquidistanten Stützstellen

**Grundidee:** Approximation des Integrals

$$\int_a^b f(x) dx \approx Q_n(f; a, b) := \sum_{i=1}^n \omega_i^n f(c_i^n).$$

Eine Quadraturformel besitzt Ordnung  $n + 1$ , wenn sie ein Polynom vom Grad  $n$  exakt integriert.

**Mittelpunktsregel:**  $Q^M(f; a, b) = (b - a) f\left(\frac{a+b}{2}\right)$  (Ordnung 2).

## Numerische Quadratur mit äquidistanten Stützstellen

**Grundidee:** Approximation des Integrals

$$\int_a^b f(x) dx \approx Q_n(f; a, b) := \sum_{i=1}^n \omega_i^n f(c_i^n).$$

Eine Quadraturformel besitzt Ordnung  $n + 1$ , wenn sie ein Polynom vom Grad  $n$  exakt integriert.

**Mittelpunktsregel:**  $Q^M(f; a, b) = (b - a) f\left(\frac{a+b}{2}\right)$  (Ordnung 2).

**Trapezregel:**  $Q^T(f; a, b) = \frac{b-a}{2} (f(a) + f(b))$  (Ordnung 2).

## Numerische Quadratur mit äquidistanten Stützstellen

**Grundidee:** Approximation des Integrals

$$\int_a^b f(x) dx \approx Q_n(f; a, b) := \sum_{i=1}^n \omega_i^n f(c_i^n).$$

Eine Quadraturformel besitzt Ordnung  $n + 1$ , wenn sie ein Polynom vom Grad  $n$  exakt integriert.

**Mittelpunktsregel:**  $Q^M(f; a, b) = (b - a) f\left(\frac{a+b}{2}\right)$  (Ordnung 2).

**Trapezregel:**  $Q^T(f; a, b) = \frac{b-a}{2} (f(a) + f(b))$  (Ordnung 2).

**Simpsonregel:**  $Q^S(f; a, b) = \frac{b-a}{6} (f(a) + 4f\left(\frac{a+b}{2}\right) + f(b))$  (Ordnung 4).

## Numerische Quadratur mit äquidistanten Stützstellen

**Grundidee:** Approximation des Integrals

$$\int_a^b f(x) dx \approx Q_n(f; a, b) := \sum_{i=1}^n \omega_i^n f(c_i^n).$$

Eine Quadraturformel besitzt Ordnung  $n + 1$ , wenn sie ein Polynom vom Grad  $n$  exakt integriert.

**Mittelpunktsregel:**  $Q^M(f; a, b) = (b - a) f\left(\frac{a+b}{2}\right)$  (Ordnung 2).

**Trapezregel:**  $Q^T(f; a, b) = \frac{b-a}{2} (f(a) + f(b))$  (Ordnung 2).

**Simpsonregel:**  $Q^S(f; a, b) = \frac{b-a}{6} (f(a) + 4f\left(\frac{a+b}{2}\right) + f(b))$  (Ordnung 4).

Zusammengesetzte Regeln:

$$\int_a^b f(x) dx = \sum_{i=0}^{N-1} \int_{x_i}^{x_{i+1}} f(x) dx = Q_n(f; x_i, x_{i+1}) \text{ mit } h = \frac{b-a}{N}, x_0 = a, \\ x_i = x_0 + ih, x_N = b.$$

## Beispiel Mittelpunkts-, Trapez- und Simpsonregel

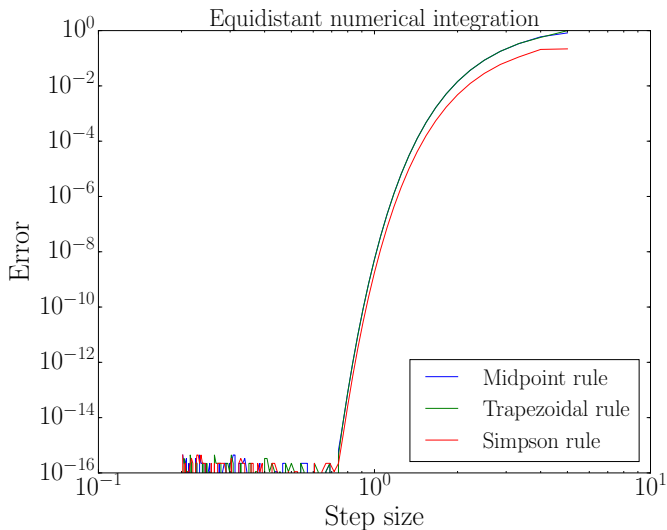
Integriere die Funktion  $f(x) = \frac{1}{\sqrt{2\pi}} \exp(-x^2/2)$  im Intervall  $[-10, 10]$  unter der Verwendung von Mittelpunkts-, Trapez- und Simpsonregel. Untersuche die Konvergenz mit der Annahme, dass das Integral einem Wert von 1 entspricht.

# Numerische Quadratur mit äquidistanten Stützstellen

```
def mittelpunkt(f, a, b, N, h):
    res = 0
    for i in range(N):
        xi = a + i*h
        xip1 = a + (i+1)*h
        res += (xip1-xi)*f(0.5*(xi+xip1))
    return res

def trapez(f, a, b, N, h):
    res = 0
    for i in range(N):
        xi = a + i*h
        xip1 = a + (i+1)*h
        res += 0.5*(xip1-xi)*(f(xi)+f(xip1))
    return res
```

# Numerische Quadratur mit äquidistanten Stützstellen



## Lösungsverfahren:

- 1 Mittelpunkts-, Simpson- und Trapezregel
- 2 Nicht äquidistante Stützstellen
- 3 Adaptive Quadratur
- 4 Quadratur in  $\mathbb{R}^d$
- 5 Monte-Carlo-Quadratur

## Numerische Quadratur mit nicht äquidistanten Stützstellen

**Grundidee:** Approximation des Integrals

$\int_a^b f(x)dx = \int_a^b \Phi(x)\omega(x)dx = \sum_{i=1}^n \Phi(x_i)\alpha_i$  bei der die Funktion  $f(x)$  durch ein Polynom  $\Phi(x)$  und eine Gewichtsfunktion  $\omega(x)$  beschrieben wird. Man muss dann die Knoten  $x_i$  und Gewichte  $\alpha_i$  bestimmen.

Weiter Informationen:

<https://pomax.github.io/bezierinfo/legendre-gauss.html>

## Beispiel Gauss-Legendre-Quadratur

Integriere die Funktion  $f(x) = 1/(1 + 25x^2)$  im Intervall  $[0, 1]$  mit der Gauss-Legendre Quadratur unter Verwendung des Golub-Welsch Algorithmus.

# Beispiel Gauss-Legendre-Quadratur

---

*# Zusammengesetzte Gauss-Legendre Quadratur*

```
def composite_legendre(f, a, b, N, n):
```

```
    I = 0.0
```

```
    dx = (b - a)/N
```

```
    for i in range(N):
```

```
        I += gauss_legendre(f, a + i*dx, a + (i+1)*dx, n)
```

```
    return I
```

---

# Beispiel Gauss-Legendre-Quadratur

---

*# Nichtzusammengesetzte Gauss-Legendre Quadratur*

```
def gauss_legendre(f, a, b, n):  
  
    x_ref, w_ref = golub_welsch(n)  
  
    x = a + (x_ref + 1.0)*(b - a)*0.5  
    w = 0.5*(b - a)*w_ref  
  
    return np.sum(w*f(x))
```

---

*# Knoten und Gewichte*

```
def golub_welsch(n):
```

```
    i = np.arange(n-1)
```

```
    b = (i+1.0) / np.sqrt(4.0*(i+1)**2 - 1.0)
```

```
    J = np.diag(b, -1) + np.diag(b, 1)
```

```
    x, ev = np.linalg.eigh(J)
```

```
    w = 2 * ev[0,:]**2
```

```
return x, w
```

## Lösungsverfahren:

- 1 Mittelpunkts-, Simpson- und Trapezregel
- 2 Nicht äquidistante Stützstellen
- 3 Adaptive Quadratur
- 4 Quadratur in  $\mathbb{R}^d$
- 5 Monte-Carlo-Quadratur

## Adaptive Quadratur

**Grundidee:** Unterteilung des Integrationsgebietes in Subintervalle, welche gleich zum Gesamtfehler beitragen.

## Adaptive Quadratur

**Grundidee:** Unterteilung des Integrationsgebietes in Subintervalle, welche gleich zum Gesamtfehler beitragen.

Man schätzt dazu den lokalen Fehler, um die Schrittweite entsprechend anzupassen.

## Adaptive Quadratur

**Grundidee:** Unterteilung des Integrationsgebietes in Subintervalle, welche gleich zum Gesamtfehler beitragen.

Man schätzt dazu den lokalen Fehler, um die Schrittweite entsprechend anzupassen.

Dazu vergleicht man zum Beispiel die lokalen Werte einer Trapez- und Simpsonregelintegration und unterteilt das Intervall, wenn die Abweichung zu gross ist.

```
def adaptive_quadrature(f,M,rtol,abstol):
    h = diff(M)
    mp = 0.5*( M[:-1]+M[1:] )
    fx = f(M); fm = f(mp)
    trp_loc = h*( fx[:-1]+fx[1:] )/2
    simp_loc= h*( fx[:-1]+4*fm+fx[1:] )/4
    I = sum(simp_loc)
    est_loc = abs(simp_loc - trp_loc)
    err_tot = sum(est_loc)
    if err_tot > rtol*abs(I) and err_tot > abstol:
        reffcells = nonzero( est_loc > 0.9*sum(est_loc)
            /size(est_loc) )[0]
        I = adaptive_quadrature(f,
            sort(append(M,mp[reffcells])),rtol,abstol)
    return I
```

## Lösungsverfahren:

- 1 Mittelpunkts-, Simpson- und Trapezregel
- 2 Nicht äquidistante Stützstellen
- 3 Adaptive Quadratur
- 4 Quadratur in  $\mathbb{R}^d$
- 5 Monte-Carlo-Quadratur

## Numerische Quadratur in $\mathbb{R}^d$

**Grundidee:** Das Integral  $I = \int_a^b \int_c^d f(x, y) dx dy = \int_a^b F(y) dy$  wird berechnet mit  $F(y) = \int_a^b f(x, y) dx$  und einem geeigneten Quadraturverfahren für beide Integrale.

## Numerische Quadratur in $\mathbb{R}^d$

**Grundidee:** Das Integral  $I = \int_a^b \int_c^d f(x, y) dx dy = \int_a^b F(y) dy$  wird berechnet mit  $F(y) = \int_a^b f(x, y) dx$  und einem geeigneten Quadraturverfahren für beide Integrale.

## Beispiel numerische Integration in $\mathbb{R}^2$

Integriere die Funktion  $\int_0^1 \int_0^1 x^2 y^2 dx dy$  numerisch mit der Trapezregel und studiere die Konvergenzeigenschaften für verschiedene Gittergrößen in dem die Abweichung von der analytischen Lösung analysiert wird.

```
f = lambda x, y: x**2*y**2
```

```
def trapez(f, a, b, N):
```

```
    x, h = linspace(a, b, N+1, retstep=True)
```

```
    I = h*(0.5*f(x[0]) + sum(f(xx) for xx in x[1:-1])  
          + 0.5*f(x[-1]))
```

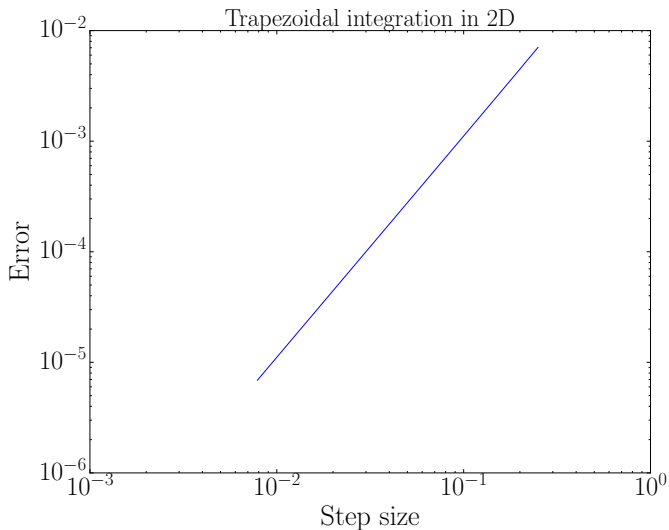
```
    return I
```

```
def trapez2d(f, a, b, Nx, c, d, Ny):
```

```
    F = lambda y: trapez(lambda x: f(x, y), a, b, Nx)
```

```
    return trapez(F, c, d, Ny)
```

# Numerische Quadratur in $\mathbb{R}^d$



## Lösungsverfahren:

- 1 Mittelpunkts-, Simpson- und Trapezregel
- 2 Nicht äquidistante Stützstellen
- 3 Quadratur in  $\mathbb{R}^d$
- 4 Adaptive Quadratur
- 5 Monte-Carlo-Quadratur

## Monte-Carlo-Quadratur

**Grundidee:** Approximieren des Integrals

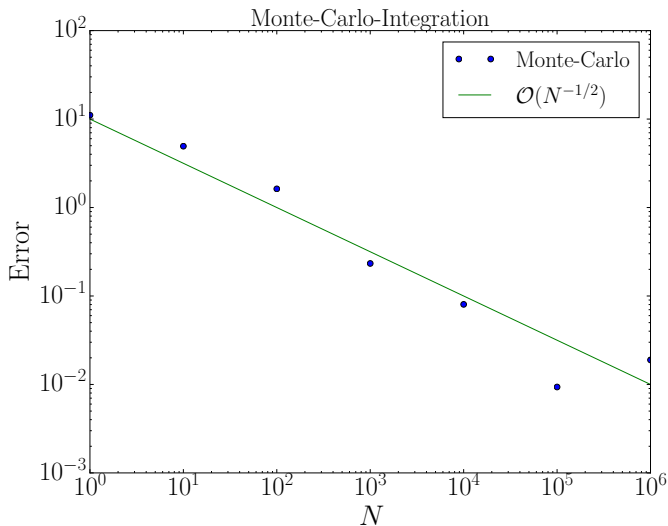
$$I = \int_a^b z(s) ds = |b - a| \int_0^1 z(a + (b - a)t) dt \approx |b - a| \frac{1}{N} \sum_{i=1}^N z(s_i) \text{ mit } s_i = a + (b - a)t_i \text{ und } t_i \in [0, 1].$$

Die Konvergenz hängt nicht von der Glattheit der Funktion oder der Dimension ab. Jedoch ist die Konvergenz langsam mit  $\mathcal{O}(N^{-1/2})$ .

## Beispiel Monte-Carlo-Integration

Berechne das Volumen der  $n$ -dimensionalen Einheitskugel mit der Monte-Carlo-Integration von  $f(\mathbf{x}) = x_1^2 + x_2^2 + \dots + x_n^2$  und bestimme die Konvergenzeigenschaft mithilfe der analytischen Lösung  $V_d = \frac{\pi^{d/2}}{\Gamma(d/2+1)}$ .

# Beispiel Monte-Carlo-Integration



## Kapitel III

### Nullstellensuche (pp. 7–36 im Skript)

# Nullstellensuche

Für die Funktion  $F: D \subset \mathbb{R}^n \rightarrow \mathbb{R}^n$ ,  $n \in \mathbb{N}$  suchen wir ein  $x^* \in D$ , so dass  $F(x^*) = 0$ .

**Lernziele:** Kennen und Anwenden geeigneter Lösungsverfahren zum numerischen Lösen eines gegebenen Nullstellenproblems  $F(x^*) = 0$ .

Für die Funktion  $F: D \subset \mathbb{R}^n \rightarrow \mathbb{R}^n$ ,  $n \in \mathbb{N}$  suchen wir ein  $x^* \in D$ , so dass  $F(x^*) = 0$ .

**Lernziele:** Kennen und Anwenden geeigneter Lösungsverfahren zum numerischen Lösen eines gegebenen Nullstellenproblems  $F(x^*) = 0$ .

## Motivation:

- 1 Gleichungen mit analytischer Lösung

z.B.  $ax^2 + bx + c = 0$  hat die Lösung  $x = \frac{-b \pm \sqrt{b^2 - 4ac}}{2a}$ .

- 2 Gleichungen ohne analytische Lösung

z.B.  $xe^x - 1 = 0$ .

Im zweiten Beispiel können wir numerische Löser verwenden.

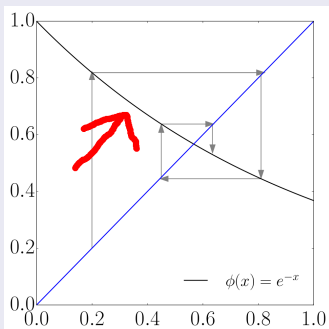
## Lösungsverfahren:

- 1 Fixpunktiteration
- 2 Intervallhalbierungsverfahren
- 3 Newtonverfahren
- 4 Sekantenverfahren
- 5 Quasi-Newton-Verfahren

# Nullstellensuche mit Fixpunktiteration

Beispiel 1: Numerisches Lösen von  $xe^x - 1 = 0$

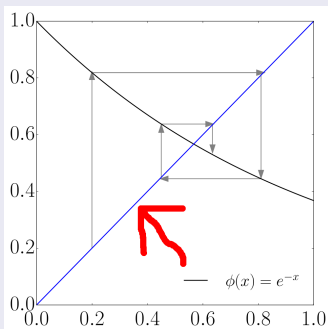
Fixpunktiteration mit  $x^{(k+1)} = \phi(x^{(k)})$ , wobei  $\phi(x) = e^{-x}$ .



# Nullstellensuche mit Fixpunktiteration

Beispiel 1: Numerisches Lösen von  $xe^x - 1 = 0$

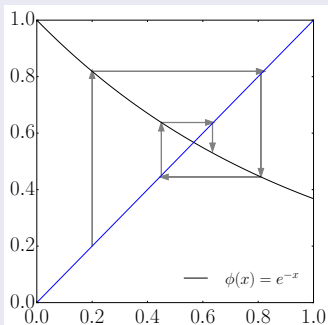
Fixpunktiteration mit  $x^{(k+1)} = \phi(x^{(k)})$ , wobei  $\phi(x) = e^{-x}$ .



# Nullstellensuche mit Fixpunktiteration

## Beispiel 1: Numerisches Lösen von $xe^x - 1 = 0$

Fixpunktiteration mit  $x^{(k+1)} = \phi(x^{(k)})$ , wobei  $\phi(x) = e^{-x}$ .



Iteration	Value
0	0.20
1	0.82
2	0.44
3	0.64
4	0.53
5	0.59
6	0.55



- 1 Überlegt zuerst allein und dann diskutiert gemeinsam für 2 min.
- 2 Teilt die Lösung mit dem Kurs.

Quiz 1: Was sind die zwei Fehler im folgenden Code zur Fixpunktiteration für  $xe^x - 1 = 0$ ?

```
import numpy as np

def phi(x):
    return x*np.exp(-x)

x0 = 0.2
x = []
x.append(x0)

for i in range(10):
    x.append(phi(x[i-1]))

print x
```

Lösung 1: Was sind die zwei Fehler im folgenden Code zur Fixpunktiteration für  $xe^x - 1 = 0$ ?

```
import numpy as np

def phi(x):
    return np.exp(-x)

x0 = 0.2
x = []
x.append(x0)

for i in range(10):
    x.append(phi(x[i]))

print x
```

## Wichtige Eigenschaften:

Der **Banach'sche Fixpunktsatz** (*Satz 1.3.7.*) garantiert die Existenz eines eindeutigen Fixpunktes für eine Kontraktion, d.h. eine Funktion  $\phi$  mit  $L < 1$ , sodass  $\|\phi(x) - \phi(y)\| \leq L\|x - y\|$  für alle  $x, y$ .

## Wichtige Eigenschaften:

Der **Banach'sche Fixpunktsatz** (*Satz 1.3.7.*) garantiert die Existenz eines eindeutigen Fixpunktes für eine Kontraktion, d.h. eine Funktion  $\phi$  mit  $L < 1$ , sodass  $\|\phi(x) - \phi(y)\| \leq L\|x - y\|$  für alle  $x, y$ .

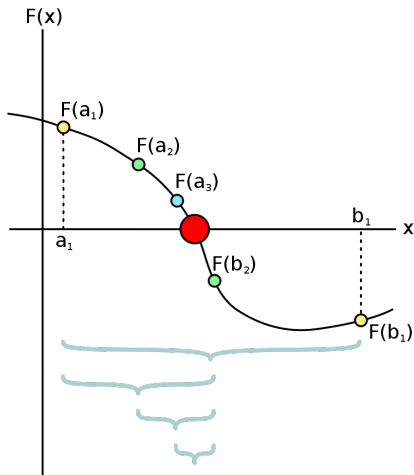
Erfüllt die Funktion  $\phi$  die Eigenschaft  $\phi^{(l)}(x^*) = 0$ ,  $l = 1, 2, \dots, m + 1$  ( $m \geq 1$ ), dann ist die lokale **Konvergenzordnung**  $p \geq m + 1$  (*Hilfssatz 1.3.14.*).

Weitere Eigenschaften im Skript (pp. 14–19).

## Lösungsverfahren:

- 1 Fixpunktiteration
- 2 **Intervallhalbierungsverfahren**
- 3 Newtonverfahren
- 4 Sekantenverfahren
- 5 Quasi-Newton-Verfahren

# Nullstellensuche mit Intervallhalbierungsverfahren



Der **Zwischenwertsatz** garantiert die Existenz einer Nullstelle im Intervall  $[a, b]$  für eine stetige Funktion mit  $f(a) > 0$  und  $f(b) < 0$ .

By Bisection\_method.svg: Tokuchanderivative work: Tokuchan (talk) - Bisection\_method.svg, CC BY-SA 3.0, <https://commons.wikimedia.org/w/index.php?curid=9382140>

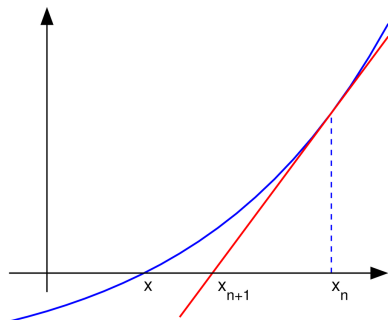
# Nullstellensuche mit Intervallhalbierungsverfahren

```
def f(x):  
    return x**5 + x - 1  
  
def bisection(a,b,tol):  
    c = (a+b)/2.0  
    while (b-a)/2.0 > tol:  
        if f(c) == 0:  
            return c  
        elif f(a)*f(c) < 0:  
            b = c  
        else:  
            a = c  
        c = (a+b)/2.0  
    return c  
  
print bisection(0,5,10**-4)
```

## Lösungsverfahren:

- 1 Fixpunktiteration
- 2 Intervalhalbierungsverfahren
- 3 **Newtonverfahren**
- 4 Sekantenverfahren
- 5 Quasi-Newton-Verfahren

# Nullstellensuche mit Newtonverfahren



Unter Zuhilfenahme der ersten Ableitung erhält man ein Iterationsverfahren mit **quadratischer Konvergenz**. Die **Newton-Methode** ist gegeben durch folgende Iterationsvorschrift:  $x^{(k+1)} = x^{(k)} - F(x^{(k)}) / F'(x^{(k)})$ , mit  $F'(x^{(k)}) \neq 0$ .

By Olegalexandrov at English Wikipedia - Transferred from en.wikipedia to Commons., Public Domain, <https://commons.wikimedia.org/w/index.php?curid=44101>

# Nullstellensuche mit Newtonverfahren (1D)

```
f = lambda x: x**5 + x - 1
fp = lambda x: 5*x**4 + 1

def newton_method(x0, tol):
    delta = 1.0*f(x0)/fp(x0)
    while delta > tol:
        x0 -= delta
        delta = f(x0)/fp(x0)
    return x0

print newton_method(1, 10**-4)
```

# Nullstellensuche mit Newtonverfahren (mit *scipy.optimize*)

---

```
from scipy.optimize import newton
```

```
f = lambda x: x**5 + x - 1
```

```
x0 = 1
```

```
print newton(f, x0)
```

---

## Verallgemeinerungen und Varianten:

In **mehreren Dimensionen** entspricht die Ableitung der Funktion  $f: U \subset \mathbb{R}^n \rightarrow \mathbb{R}^m$  an der Stelle  $a \in U$  der Jacobimatrix:

$$J_F(a) := \left( \frac{\partial F_i}{\partial x_j}(a) \right)_{i=1, \dots, m; j=1, \dots, n} = \begin{pmatrix} \frac{\partial F_1}{\partial x_1}(a) & \frac{\partial F_1}{\partial x_2}(a) & \dots & \frac{\partial F_1}{\partial x_n}(a) \\ \vdots & \vdots & \ddots & \vdots \\ \frac{\partial F_m}{\partial x_1}(a) & \frac{\partial F_m}{\partial x_2}(a) & \dots & \frac{\partial F_m}{\partial x_n}(a) \end{pmatrix}.$$

## Verallgemeinerungen und Varianten:

In **mehreren Dimensionen** entspricht die Ableitung der Funktion  $f: U \subset \mathbb{R}^n \rightarrow \mathbb{R}^m$  an der Stelle  $a \in U$  der Jacobimatrix:

$$J_F(a) := \left( \frac{\partial F_i}{\partial x_j}(a) \right)_{i=1, \dots, m; j=1, \dots, n} = \begin{pmatrix} \frac{\partial F_1}{\partial x_1}(a) & \frac{\partial F_1}{\partial x_2}(a) & \dots & \frac{\partial F_1}{\partial x_n}(a) \\ \vdots & \vdots & \ddots & \vdots \\ \frac{\partial F_m}{\partial x_1}(a) & \frac{\partial F_m}{\partial x_2}(a) & \dots & \frac{\partial F_m}{\partial x_n}(a) \end{pmatrix}.$$

Manchmal ist es auch nötig die Newtonkorrektur mit einem **Vorfaktor zu dämpfen**. Ansonsten würde man keine Konvergenz finden.

## Verallgemeinerungen und Varianten:

In **mehreren Dimensionen** entspricht die Ableitung der Funktion  $f: U \subset \mathbb{R}^n \rightarrow \mathbb{R}^m$  an der Stelle  $a \in U$  der Jacobimatrix:

$$J_F(a) := \left( \frac{\partial F_i}{\partial x_j}(a) \right)_{i=1, \dots, m; j=1, \dots, n} = \begin{pmatrix} \frac{\partial F_1}{\partial x_1}(a) & \frac{\partial F_1}{\partial x_2}(a) & \dots & \frac{\partial F_1}{\partial x_n}(a) \\ \vdots & \vdots & \ddots & \vdots \\ \frac{\partial F_m}{\partial x_1}(a) & \frac{\partial F_m}{\partial x_2}(a) & \dots & \frac{\partial F_m}{\partial x_n}(a) \end{pmatrix}.$$

Manchmal ist es auch nötig die Newtonkorrektur mit einem **Vorfaktor zu dämpfen**. Ansonsten würde man keine Konvergenz finden.

Im **vereinfachten Newtonverfahren** nimmt man den gleichen Korrekturfaktor für mehrere Schritte.

# Nullstellensuche mit Newtonverfahren (2D)

```
from numpy import array
from scipy.linalg import norm, solve

F = lambda x: array([x[0]**2-x[1]**4, x[0]-x[1]**3])
DF = lambda x: array([[2*x[0], -4*x[1]**3], [1, -3*x[1]**2]])
x = array([0.7, 0.7])
tol = 10**(-10)
s = solve(DF(x), F(x))
x -= s

while norm(s) > tol*norm(x):
    s = solve(DF(x), F(x))
    x -= s

print x
```

## Lösungsverfahren:

- 1 Fixpunktiteration
- 2 Intervalhalbierungsverfahren
- 3 Newtonverfahren
- 4 **Sekantenverfahren**
- 5 Quasi-Newton-Verfahren

# Nullstellensuche mit Sekantenverfahren

Wir erinnern uns an das **Newton-Verfahren** mit  $x^{(k+1)} = x^{(k)} - F(x^{(k)}) / F'(x^{(k)})$ , wobei  $F'(x^{(k)}) \neq 0$ .

Was ist jedoch, wenn man die Auswertung der Ableitung umgehen möchte?

$$F'(x^k) \approx \frac{F(x^k) - F(x^{k-1})}{x^k - x^{k-1}}$$

## Lösungsverfahren:

- 1 Fixpunktiteration
- 2 Intervalhalbierungsverfahren
- 3 Newtonverfahren
- 4 Sekantenverfahren
- 5 **Quasi-Newton-Verfahren**

# Nullstellensuche mit Quasi-Newton-Verfahren

Ähnlich zum Sekantenverfahren kann man auch in  $n$  Dimensionen die Berechnung der Jakobimatrix erleichtern. Man nutzt dazu das **Broyden-Quasi-Newton-Verfahren**, cf. pp. 32-34 im Skript.

$$\begin{aligned}\Delta x^{(k)} &:= -J_k^{-1} F(x^{(k)}) \\ x^{(k+1)} &:= x^{(k)} + \Delta x^{(k)} \\ J_{k+1} &:= J_k + \frac{F(x^{(k+1)})(\Delta x^{(k)})^T}{\|\Delta x^{(k)}\|_2^2}\end{aligned}$$